



Evropský sociální fond

Praha & EU: Investujeme do vaší budoucnosti

Základní metody číslicového zpracování signálu a obrazu – část II.

Radek Sedláček, katedra měření, ČVUT FEL, 2012

Obsah přednášky

- Úvod, motivace do problematiky číslicového zpracování signálu či obrazu (DSP), základní definice a pojmy
- Digitalizace signálu
- Číslicové filtry (FIR, IIR)
- **Převzorkování – decimace, interpolace**
- Frekvenční analýza (FFT, DFT)
- Korelace, autokorelace
- Komprese obrazové informace (JPEG, MPEG)

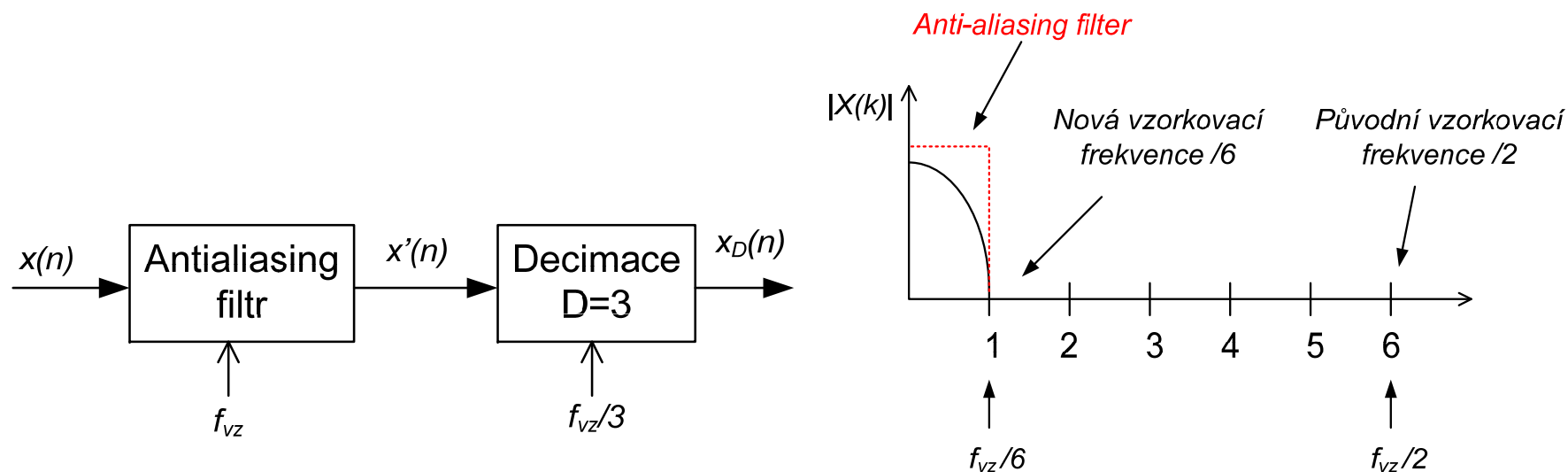
Decimace signálu

Proces, kdy je **snižována vzorkovací frekvence** (v angl. downsampling). Pokud signál je decimován faktorem M , pak

$$f_{\text{vz_nová}} = f_{\text{vz_původní}} / M$$

M je celé číslo, $M \geq 2$.

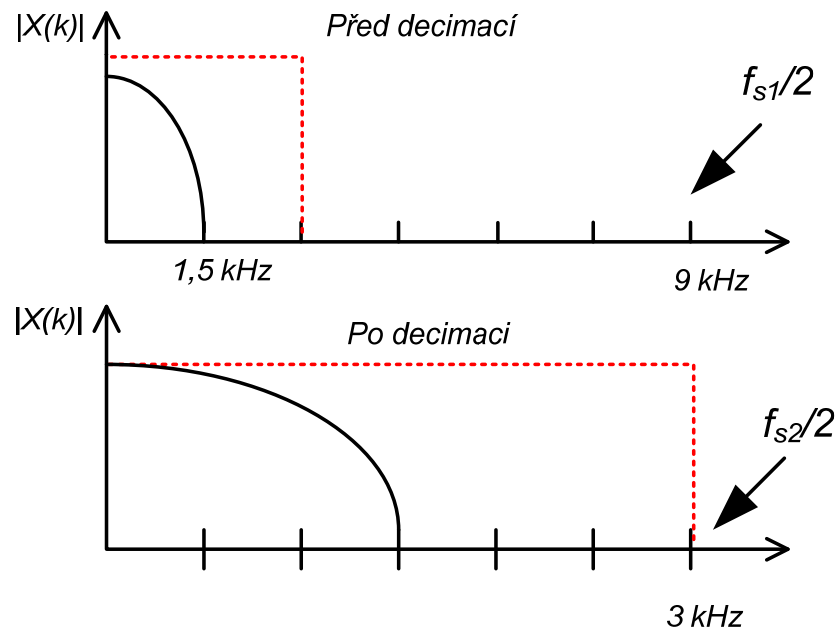
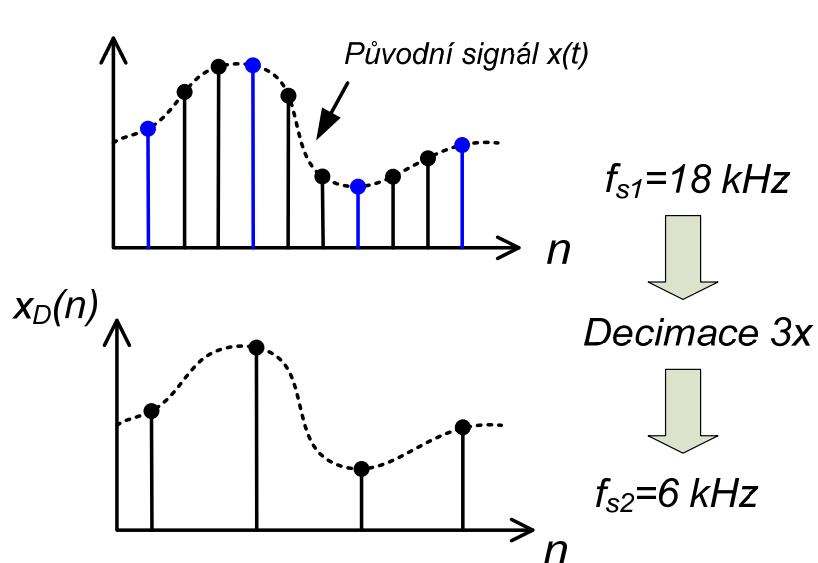
Před operací decimace je nutné omezit šířku pásma, tj. splnit vzorkovací teorém – řeší se pomocí anti-aliasing filtru



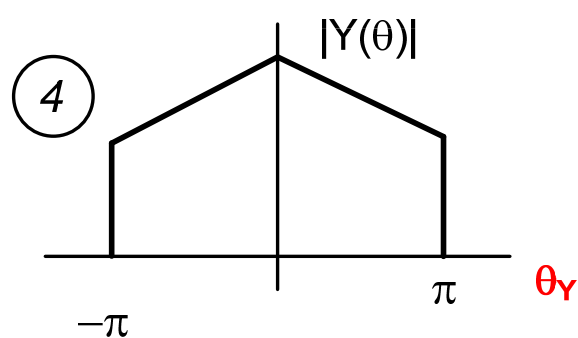
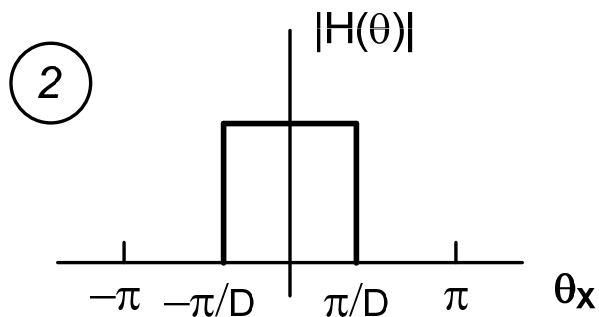
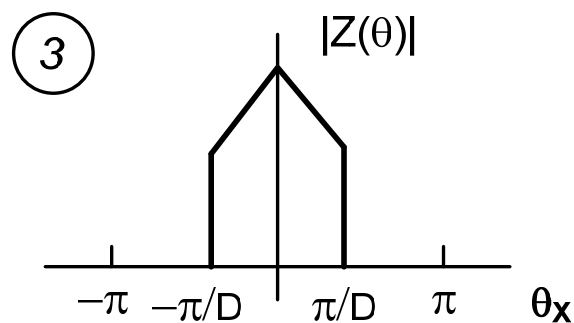
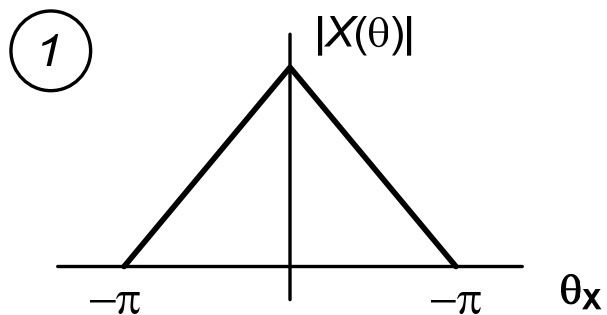
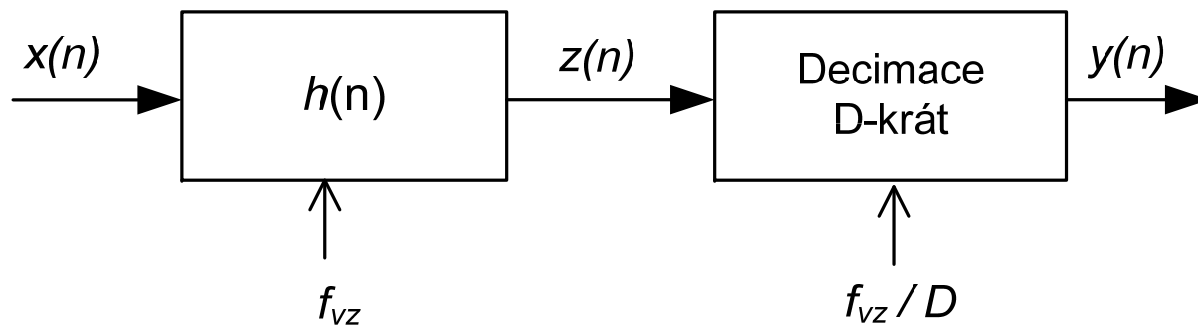
Decimace signálu - grafické znázornění

Z původního signálu se vybere každý D -tý vzorek, ostatní vzorky se odstraní (neberou se v úvahu)

Příklad: decimace signálu $x(n)$ faktorem $D=3$



Vliv decimace na frekvenční spektrum



Proč decimovat ?

- redukce objemu navzorkovaných dat – menší nároky na výpočetní výkon HW , nutno ověřit šířku pásma vstupního signálu – jinak může dojít ke nevratné ztrátě informace obsažené v signálu
- efektivní využití šířky pásma - využívám rychlé vzorkovací obvody, ovšem signál je úzkopásmový

Interpolace signálu

Proces, kdy je **zvyšována vzorkovací frekvence**. Pokud signál je interpolován faktorem L , pak

$$f_{\text{vz_nová}} = f_{\text{vz_původní}} \cdot L$$

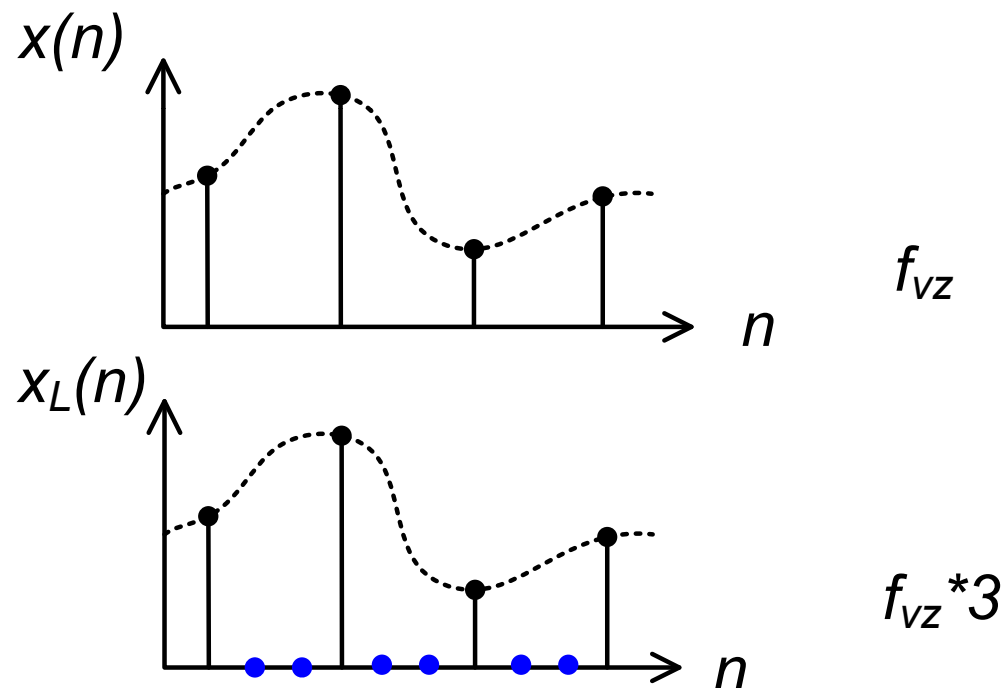
L je celé číslo, $L \geq 2$

Z důvodu zrcadlení původního spektra po interpolaci – musí následovat anti-aliasing filtr typu dolní propust.

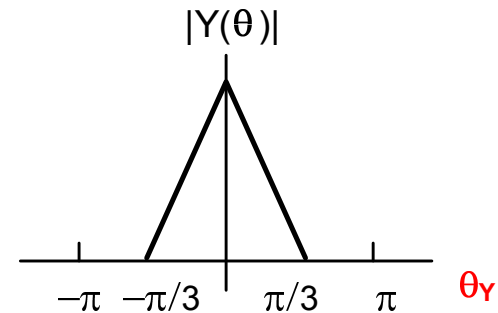
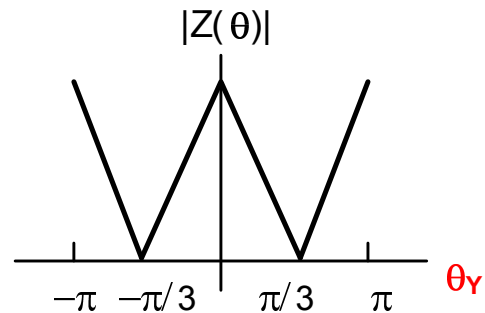
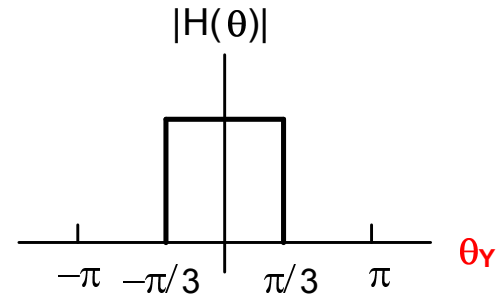
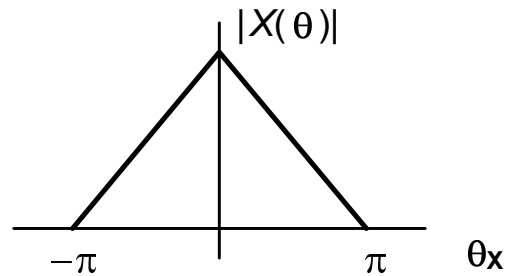
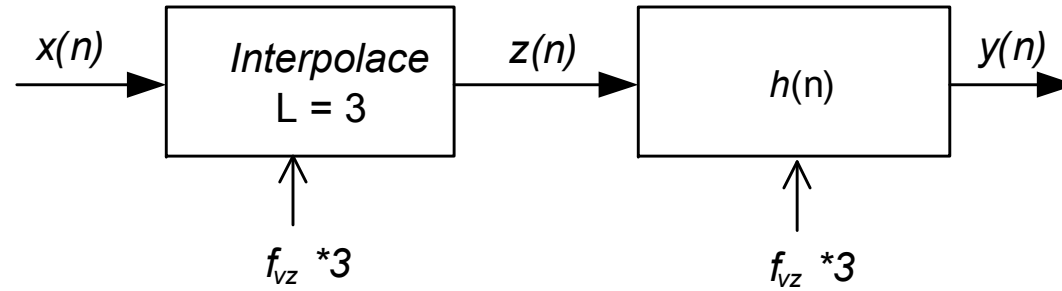
Interpolace signálu - grafické znázornění

Způsob realizace: Mezi původní vzorky signálu se vkládají nuly

Příklad : interpolace signálu $x(n)$ faktorem $L = 3$



Vliv interpolace na frekvenční spektrum

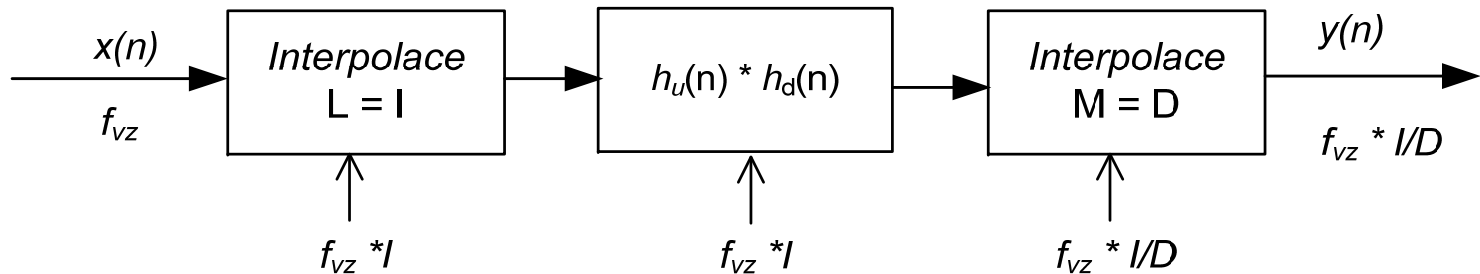
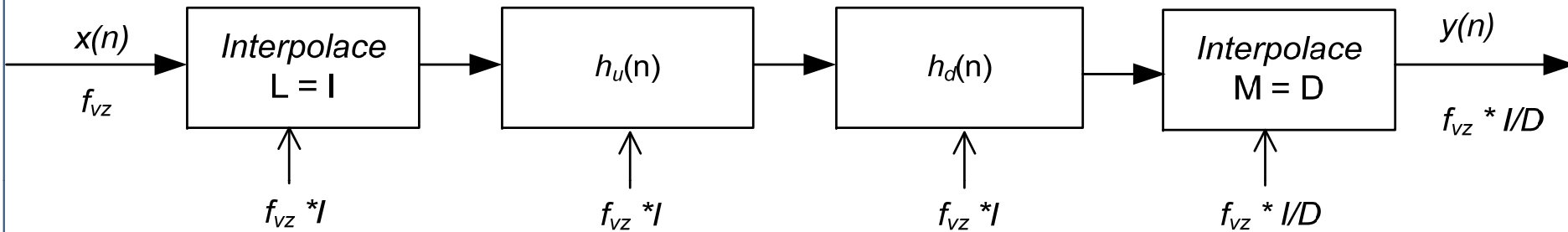


Důsledek použití anti-aliasing filtrů při I a D

Ačkoliv lineární filtrace a interpolace či decimace jsou tzv. time invariant, jejich vzájemná kombinace (lineární filtrace + operace interpolace či decimace) NEJSOU záměnné !!!

Vzniká tzv. „time variant“ systém !

Obecné převzorkování faktorem I/D



Způsoby realizace

Standardní uspořádání decimátoru – anti-aliasing filter + operace decimace
– není optimalizováno z hlediska výpočetní výkonu

Optimalizované struktury :

- decimační FIR
- polyfázové filtry – efektivní způsob realizace decimátorů a interpolátorů
- CIC (cascaded integrator-comb) filtry

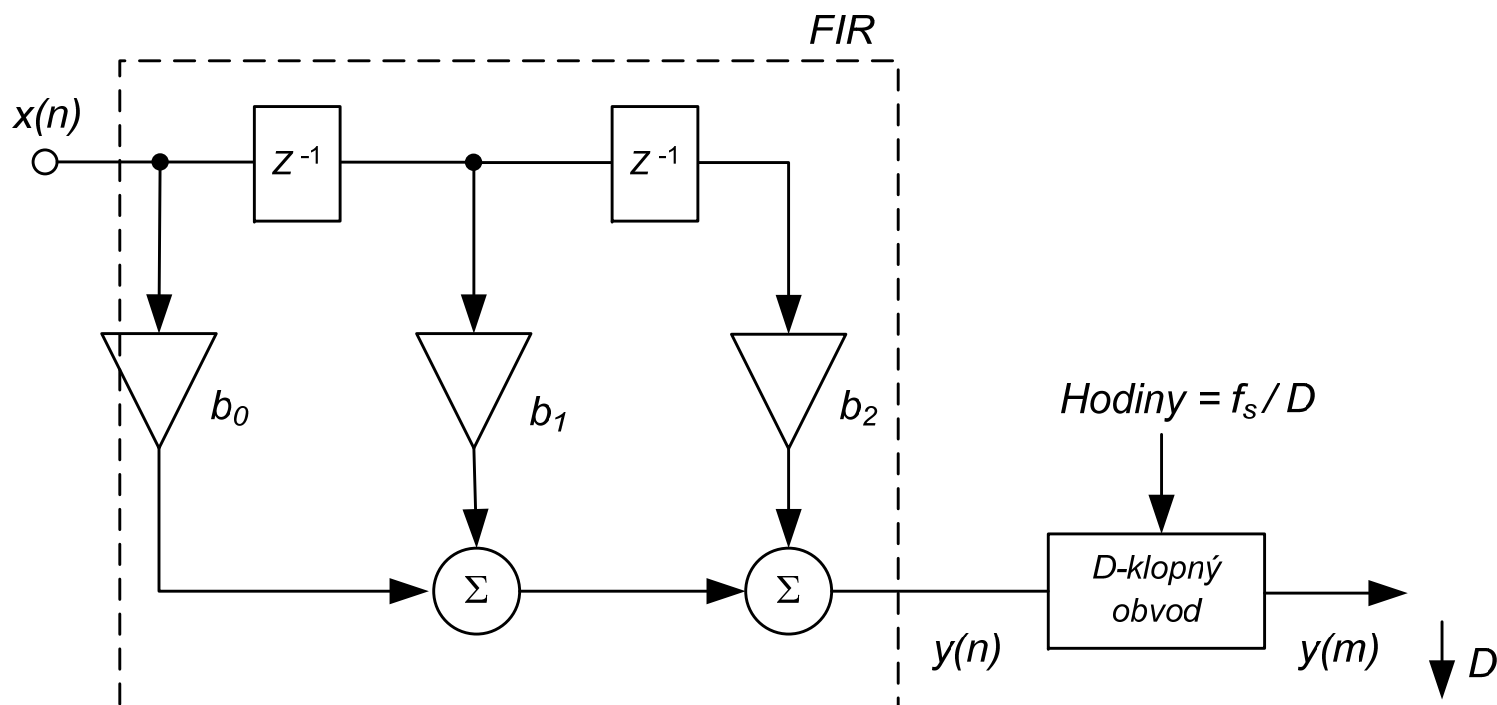
Standardní uspořádání decimátoru

Výpočet konvoluce se provádí v **každém** hodinovém taktu

Výstupní signál je **vzorkován M-krát** menší frekvencí



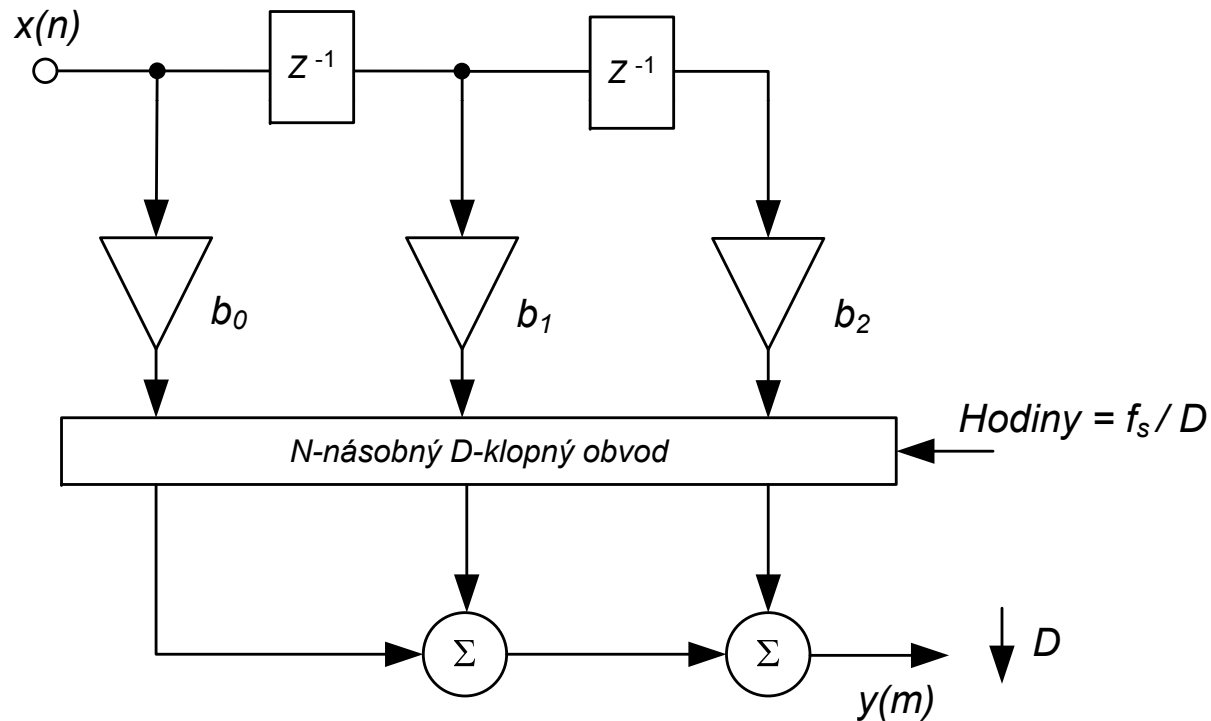
Neoptimalizována struktura s ohledem na výpočetní výkon.



Decimační FIR – efektivní způsob výpočtu

Historie vzorků uschována v D-klopném obvodu

Konvoluce se provádí pouze každý M-tý vzorek



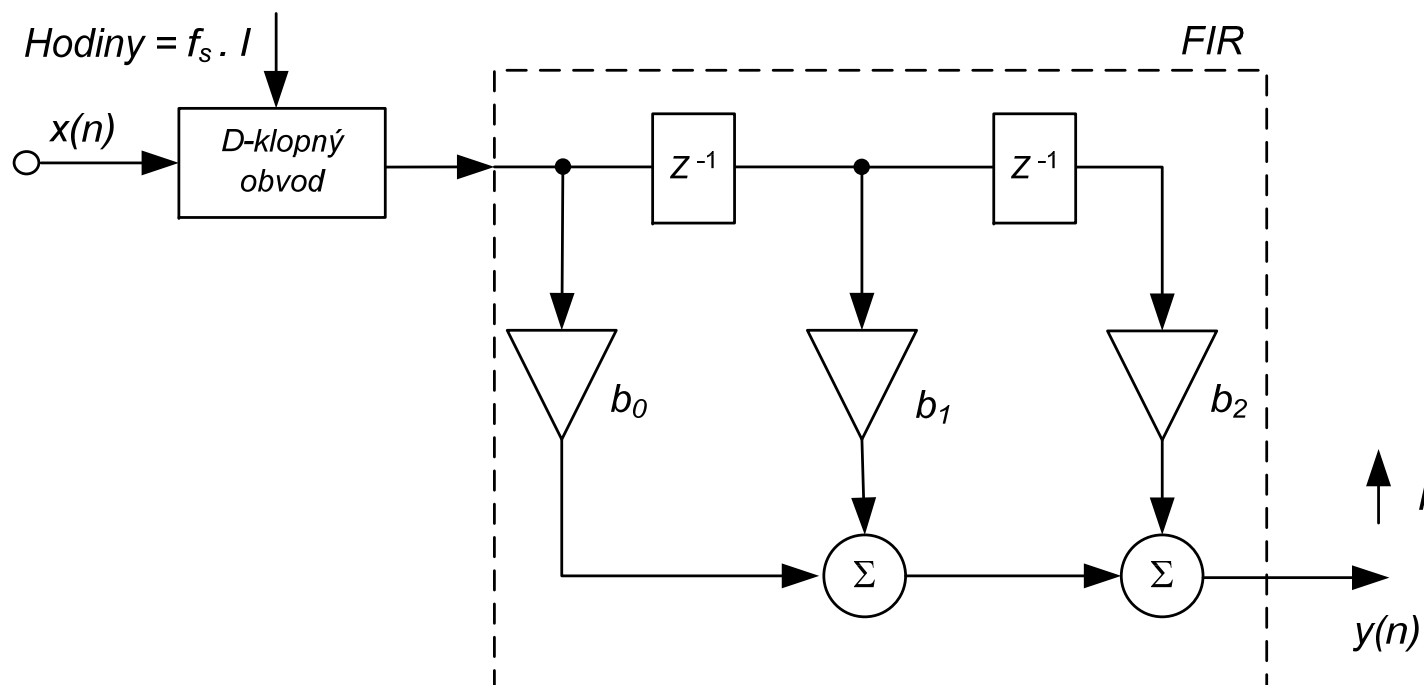
Standardní uspořádání interpolátoru

Vstupní signál je vzorkován I -krát větší frekvencí

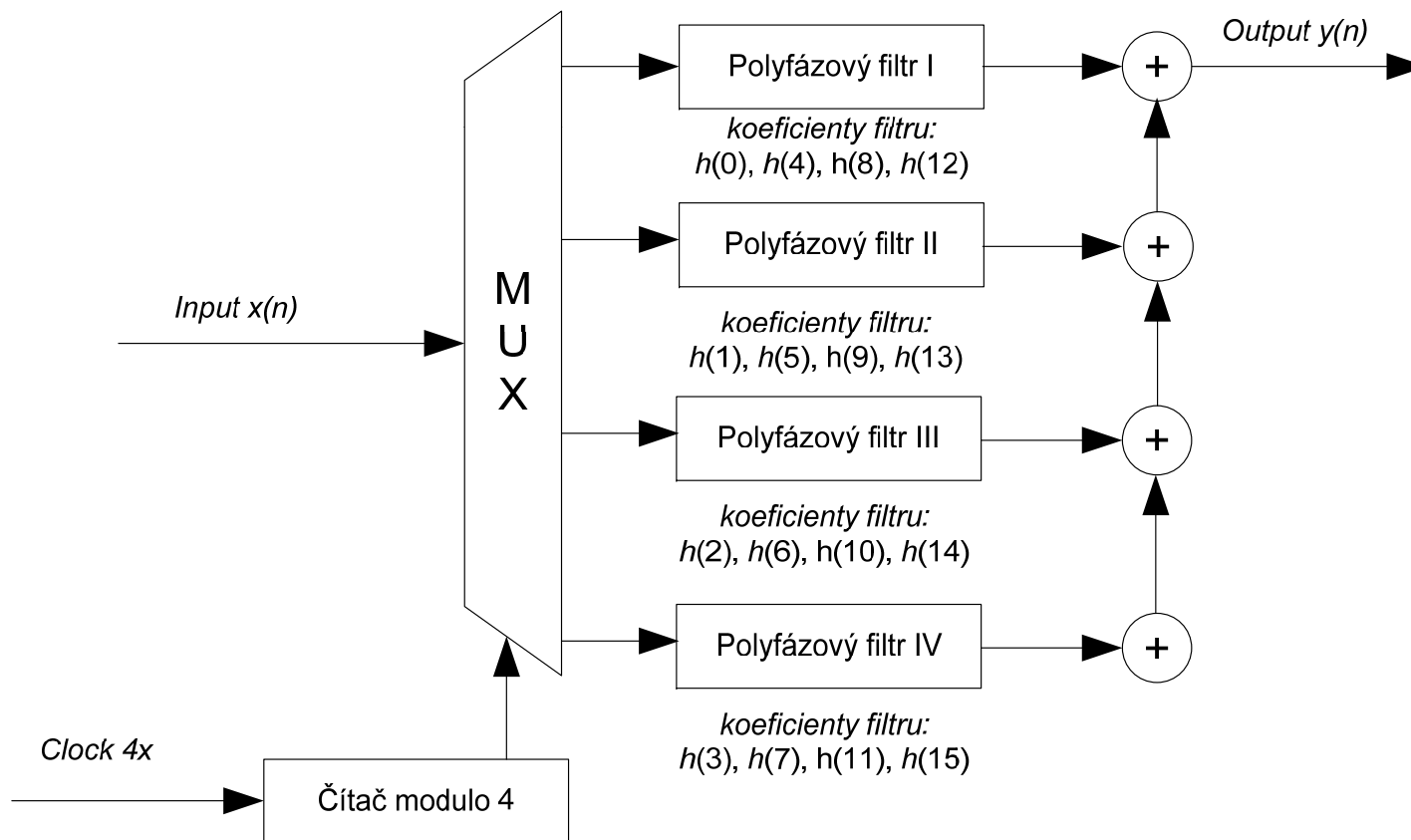
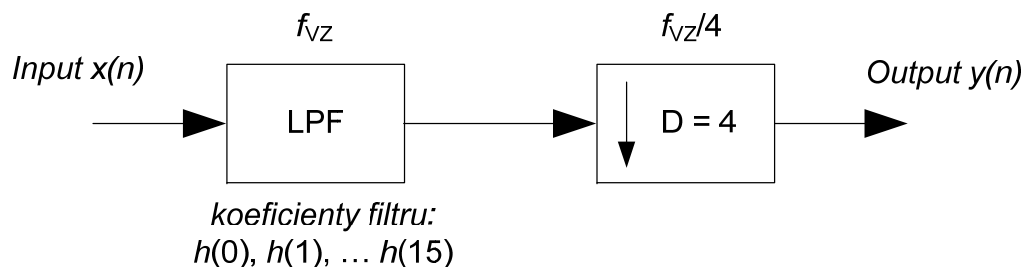
Výpočet konvoluce (výpočet hodnoty filtru) se provádí v každém hodinovém taktu, tj. s frekvencí $f_s \cdot I$



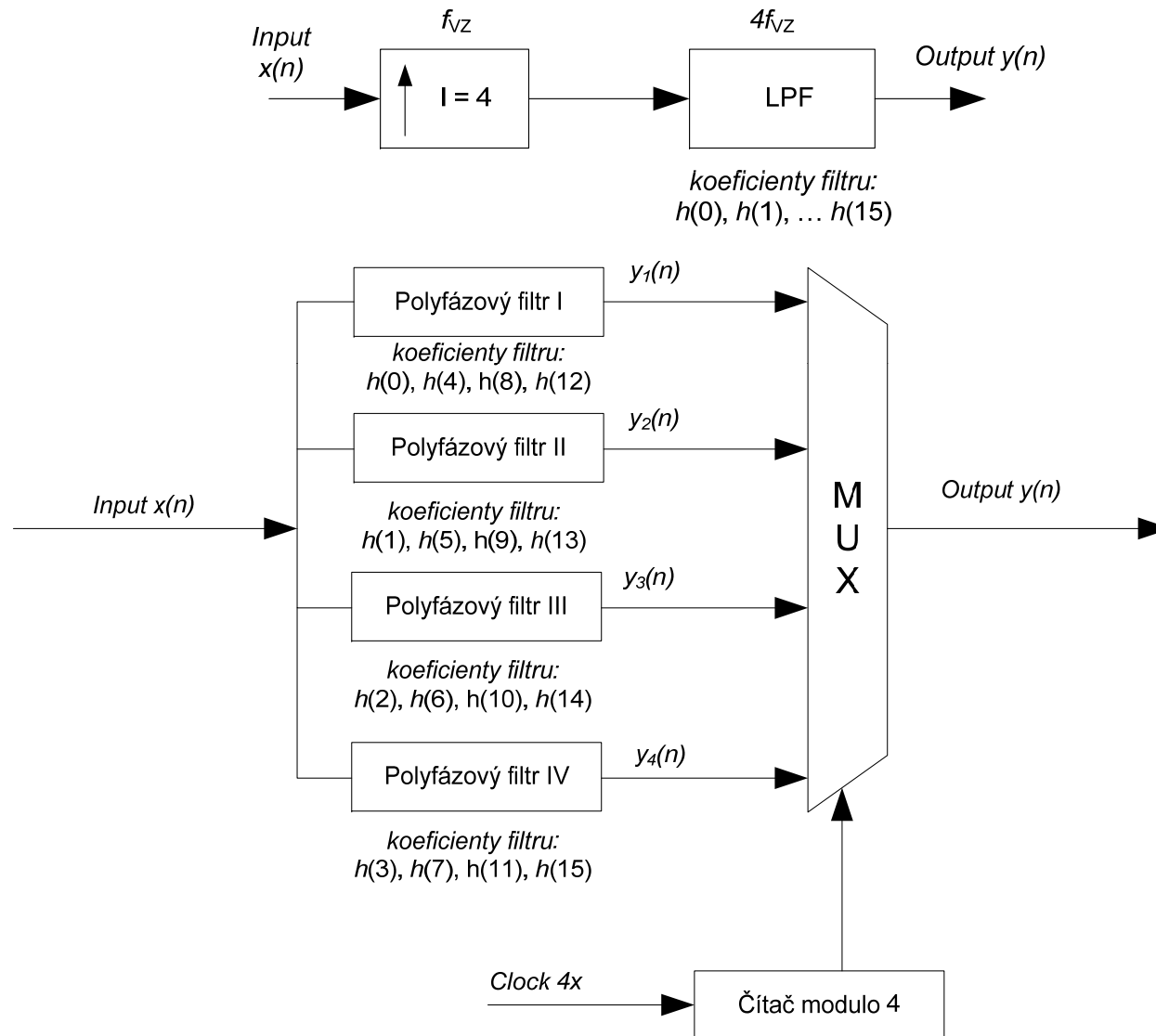
Neoptimalizovaná struktura na výpočetní výkon



Decimace pomocí polyfázových filtrů



INTERPOLACE pomocí polyfázových filtrů



Polyfázové filtry - rekapitulace

Princip: rozdělení původního FIR do několika kratších - viz. předchozí slide -
původní filtr LPF s 16-ti koeficienty se rozdělí na čtyři FIR menší (délka 4)

1. filtr tvoří koeficienty $h(0), h(4), h(8), h(12)$

2. filtr tvoří koeficienty $h(1), h(5), h(9), h(13)$

....

atd.

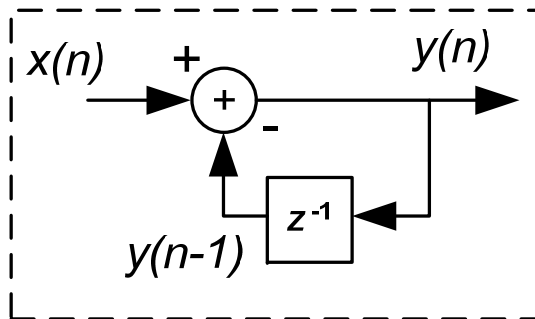
Zatímco pro výpočet interpolace 4x je potřeba při délce FIR $N=16$ celkem 16×4 operací, při implementaci pomocí polyfázových filtrů jen 4×4 !

To přináší opět významnou úsporu výpočetního výkonu

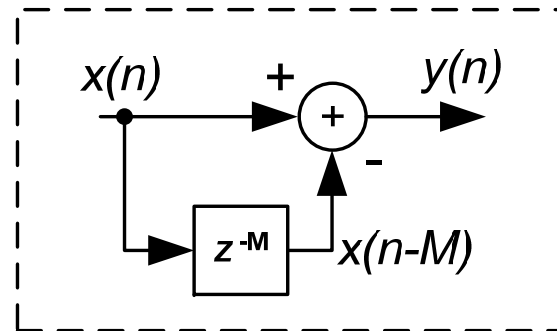
Cascaded integrator-comb (CIC) filtry

Pomocí této struktury je možné realizovat jak decimátor, tak i interpolátor
Základními stavebními prvky jsou integrátor a diferenciátor

INTEGRÁTOR

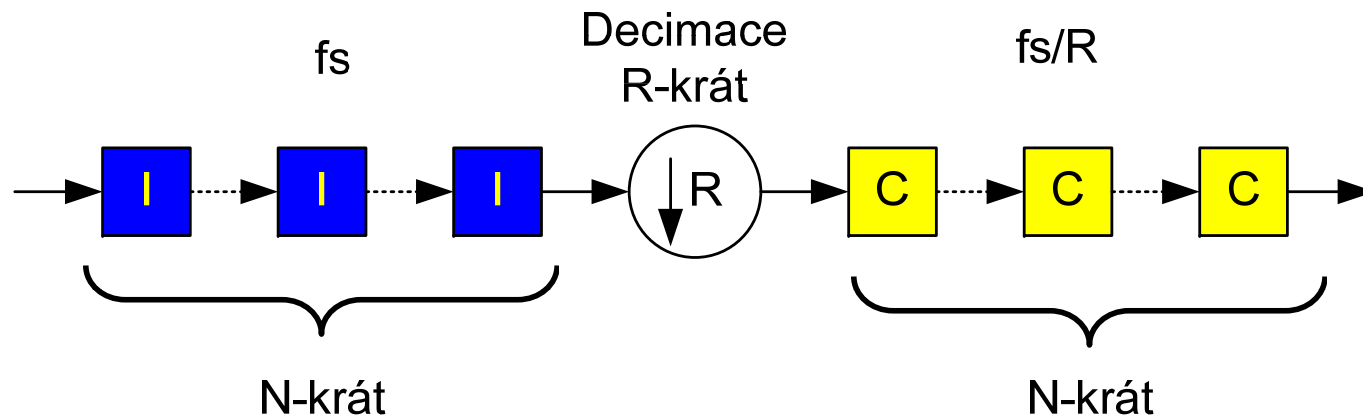


DIFERENCIÁTOR

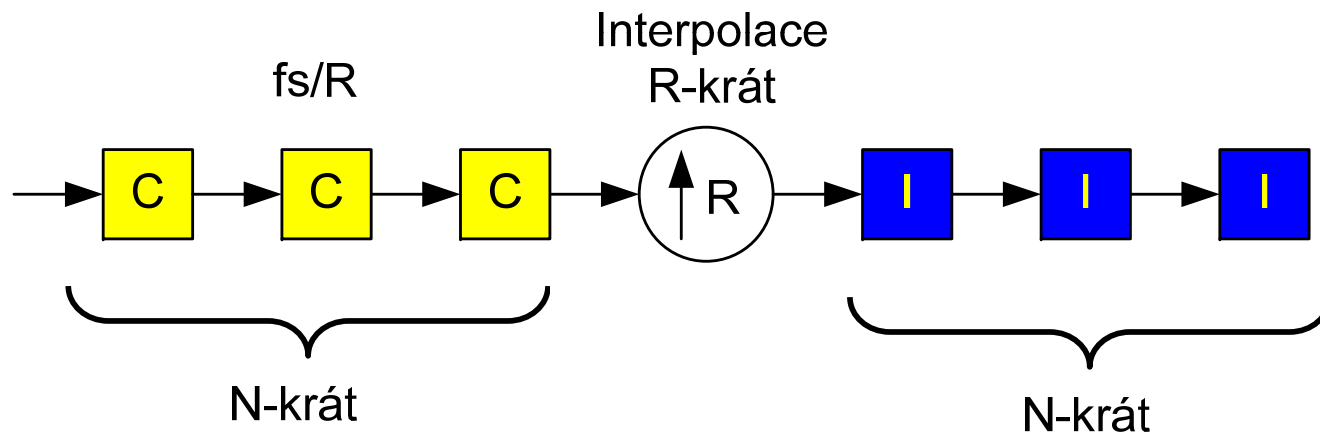


Obecná struktura CIC filtrů

Decimátor



Interpolátor



Odvození přenosu

Pro integrátor platí (**I**) :

- v časové oblasti

$$y(n) = y(n - 1) + x(n)$$

- přenos ve frekvenční oblasti

$$H_I(z) = \frac{1}{1 - z^{-1}}$$

Pro defirenciátor (**C**):

- v časové oblasti

$$y(n) = x(n) - x(n - M)$$

- Přenos ve frekvenční oblasti

$$H_C(z) = 1 - z^{-M}$$

Pro obecnou strukturu

Výsledný přenos CIC filtru

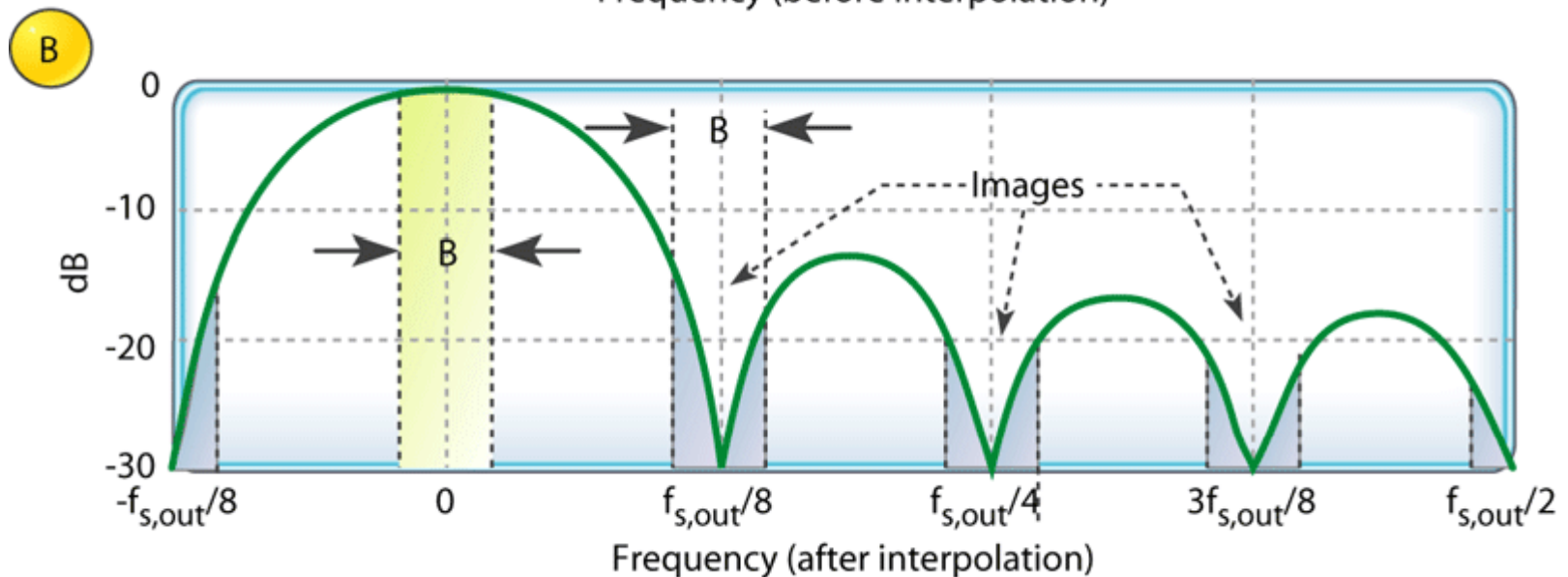
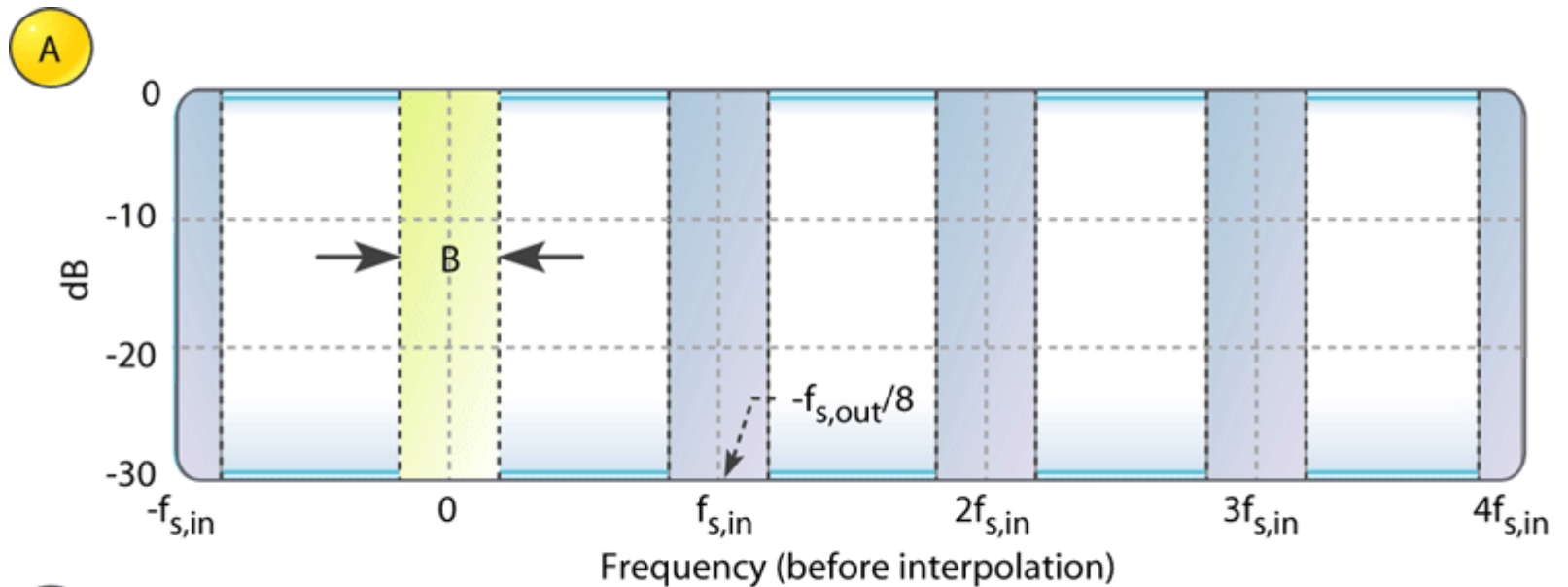
$$H(z) = H_I^N(z) \cdot H_C^N(z) = \frac{(1 - z^{-RM})^N}{(1 - z^{-1})^N} = \left(\sum_{k=0}^{RM-1} z^{-k} \right)^N$$

Vykazuje tedy frekvenční charakteristiku ve tvaru $\text{sinc } x/x$ s nulami na frekvenci $f=1/M$

Počet bitů výstupního signálu:

$$B_{OUT} = N \cdot \log_2(RM) + B_{IN}$$

Spektrum CIC filtru (M=8, R=8)

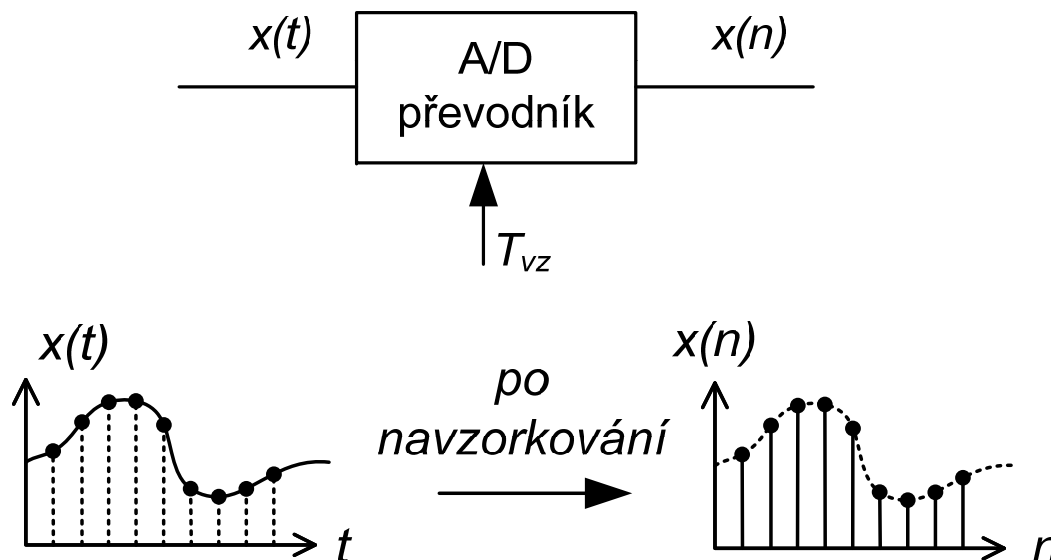


Obsah přednášky

- Úvod, motivace do problematiky číslicového zpracování signálu či obrazu (DSP), základní definice a pojmy
- Digitalizace signálu
- Převzorkování – decimace, interpolace
- Číslicové filtry (FIR, IIR)
- **Frekvenční analýza (FFT, DFT)**
- Korelace, autokorelace
- Komprese obrazové informace (JPEG, MPEG)

Diskrétní Fourierova transformace (DFT)

- Určena pro výpočet frekvenčního spektra navzorkovaného (digitalizovaného) signálu
- Oproti použití číslicových filtrů – získáme nejen informaci o amplitudě, ale i o fázi signálu !



Matematická definice DFT

Fourierova transformace pro spojitý analogový signál

$$X(j\omega) = \int_{-\infty}^{\infty} x(t) e^{-j\omega t} dt \quad x(t) = \frac{1}{2\pi} \int_{-\infty}^{\infty} X(j\omega) e^{j\omega t} d\omega$$

Diskrétní Fourierova transformace DFT

$$X(k) = \sum_{n=0}^{N-1} x(n) e^{-j\frac{2\pi}{N}n.k} \quad x(n) = \frac{1}{N} \sum_{k=0}^{N-1} X(k) e^{j\frac{2\pi}{N}n.k}$$

n – značí časovou oblast

k – značí frekvenční oblast

N – délka vstupní posloupnosti

Výsledné spektrum je komplexní proměnná

Výstupem DFT je komplexní proměnná, proto :

Amplituda spektra

$$Amp_X(k) = \sqrt{Re(X(k))^2 + Im(X(k))^2}$$

výpočet v MATLABU : funkce **abs()**

Fáze spektra

$$phase_X(k) = \arctg \frac{Im(X(k))}{Re(X(k))}$$

výpočet v MATLABU : funkce **angel()**

Základní vlastnosti DFT

- Linearita $k_1 x_1(n) + k_2 x_2(n) \leftrightarrow k_1 X_1(k) + k_2 X_2(k)$

- Periodičnost – $x(n)$ i $X(k)$ jsou periodické s periodou N

- Kruhový posun $x(n - n_0) \leftrightarrow e^{-j\frac{2\pi}{N}k \cdot n_0} X(k)$

- Frekvenční posun $e^{j\frac{2\pi}{N}n \cdot k_0} x(n) \leftrightarrow X(k - k_0)$

- Kruhová (cyklická konvoluce) v časové oblasti

$$x_1(n) \circledast x_2(n) \leftrightarrow X_1(k) \cdot X_2(k)$$

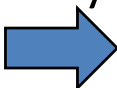
- Obraz obrácené posloupnosti

$$x(-n) \leftrightarrow X(-k)$$

Výpočet IDFT, volba N pro DFT

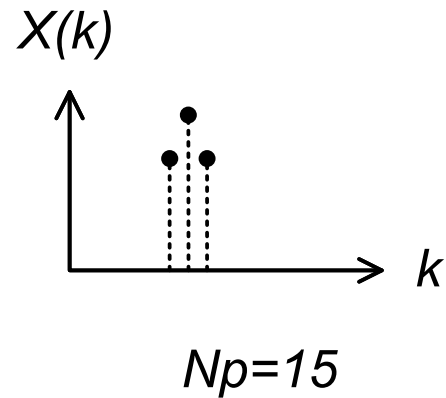
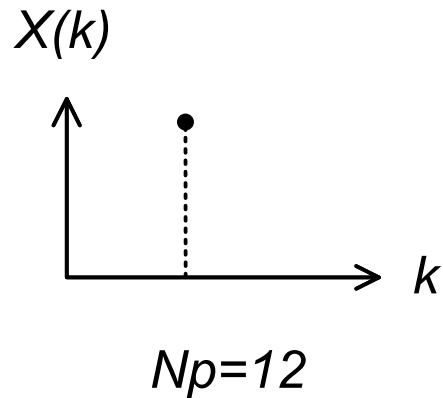
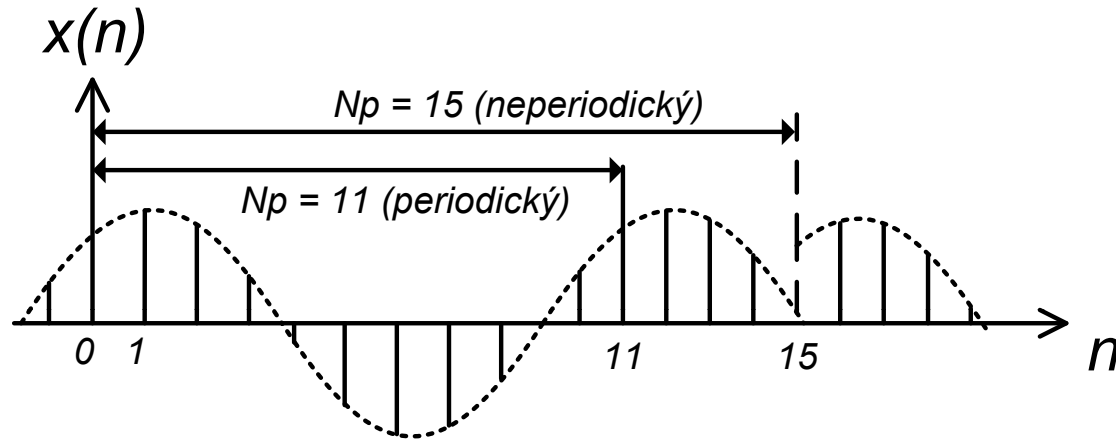
- Pro výpočet lze využít algoritmů pro výpočet DFT !

$$x(n) = \frac{1}{N} \left[\sum_{k=0}^{N-1} X^*(k) e^{-j\frac{2\pi}{N}n.k} \right]^*$$

- Pro periodickou posloupnost s periodou N_p volíme $N=k.N_p$
- Při splnění této podmínky nedochází na hranici základního intervalu k nespojitosti obálky  nedochází k rozmazávání spektra (tzv. leakage spektra)
- Další podmínka na volbu N : $N=2^M$ nebo vyšší základ (4,8,16) - požadováno algoritmy pro FFT (M je přirozené číslo)
- Pokud **nelze** vyhovět výše uvedeným podmínkám, **použije se časové okénko** $w(n)$
- Pak se pracuje se signálem

$$x_w(n) = x(n) \cdot w(n)$$

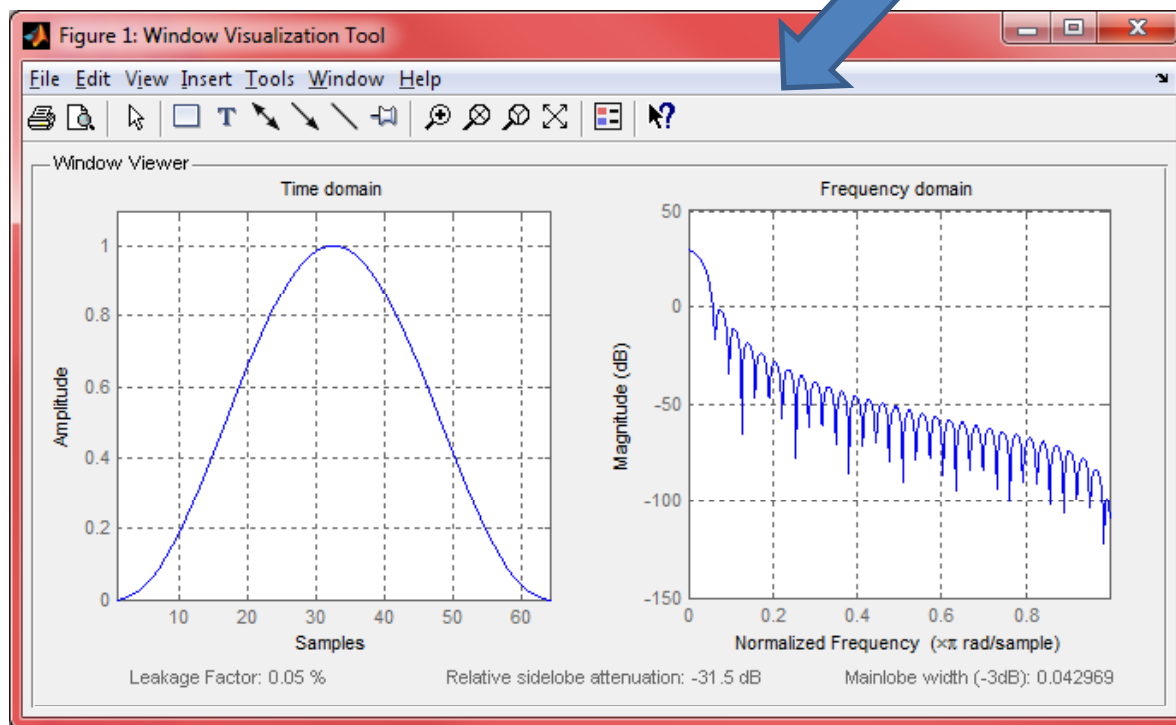
Vliv velikosti N na rozmazání spektra



Typy oken pro váhování

- Okna se používají pro omezení nespojitosti obálky
- Existuje mnoho typů oken
- Nejběžnější okna pro váhování:
 - ✓ Obdelníkové (neomezuje nespojitosti !)
 - ✓ Hanning
 - ✓ Hamming
 - ✓ Blackman
 - ✓ Trojúhelníkové
 - ✓ Kairesovo

časový průběh , frekvenční charakteristika Hanningova okna, vel. 64



- v MATLABU existuje window visualization tool WVTOOL

FFT algoritmus

- Vysoce efektivní způsob výpočtu DFT
- Většina algoritmů popsána dříve než existovali digitální počítače
- Nejpoužívanější FFT - **radix 2** nebo DIT FFT (decimation-in-time FFT) - popsán v r. 1965 Cooleyem a Tukeyem
- Podstata těchto algoritmů spočívá ve využití periodičnosti exponenciály a její různých symetričností (twiddle factor)

$$W_N = e^{-j\frac{2\pi}{N}}$$

Výpočetní náročnost DFT

N bodová DFT:

- $N \times N$ komplexních násobení
- $N \cdot (N-1)$ komplexních sčítání

Příklad : $N = 1024$,

- počet násobení: 1 048 576
- Počet sčítání: 1 047 552
- Při délce 1 instrukce $1 \mu\text{s}$ výpočet DFT trvá cca 2 s !

Vlastnosti exponenciály

$$W_N^{kn} = W_N^{(k+N)n} = W_N^{k(n+N)}$$

$$W_N^{2kn} = W_{2N}^{kn}$$

$$W_N^{k(n+\frac{N}{2})} = -W_N^k$$

Postup výpočtu FFT – 1.krok

Celá posloupnost $\mathbf{x(n)}$ se rozdělí na posloupnost sudých $\mathbf{x_1(n)}$ a lichých členů $\mathbf{x_2(n)}$

$$x_1(n) = x(2n)$$

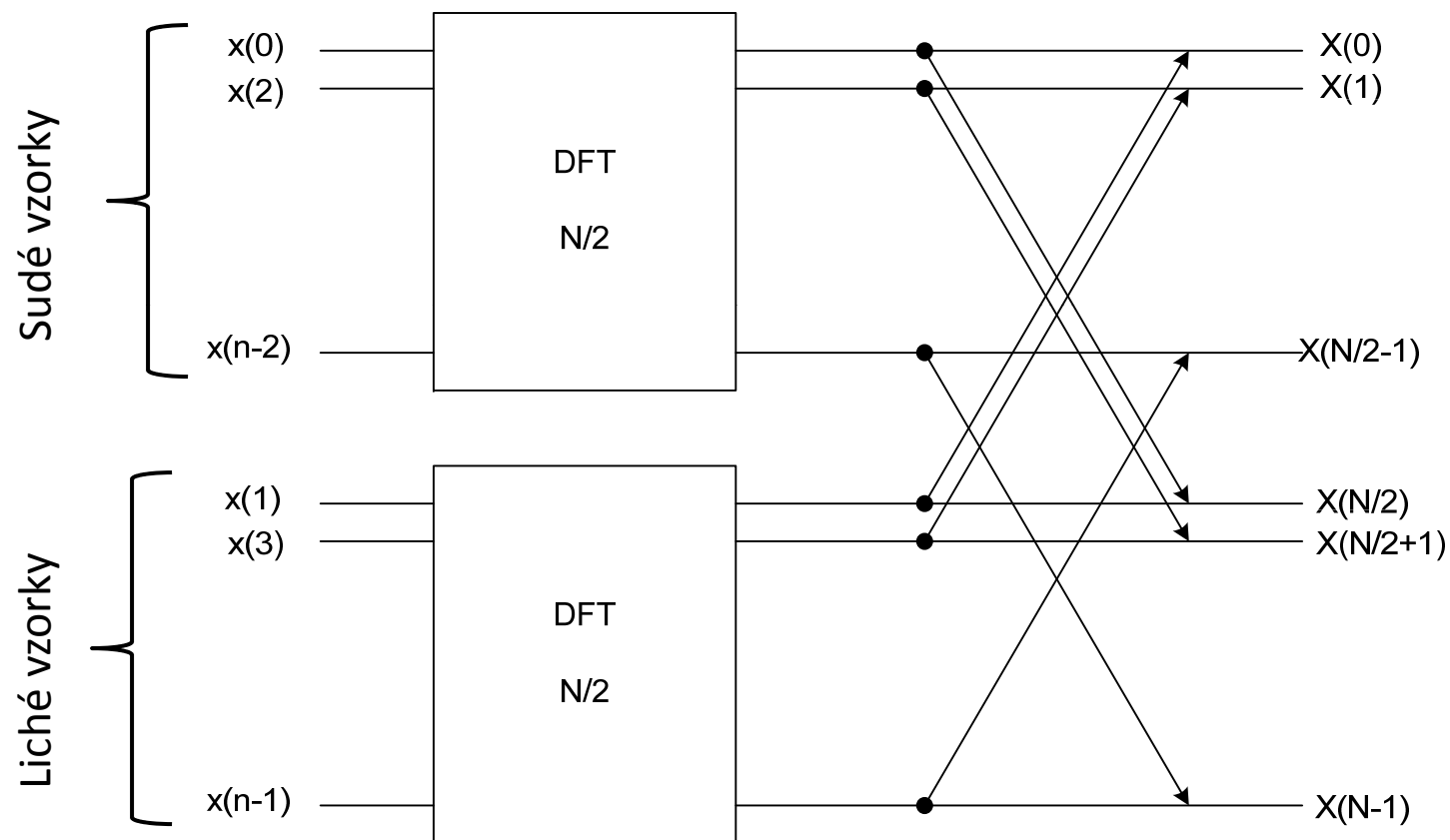
$$x_2(n) = x(2n + 1)$$

Odvození

$$\begin{aligned} X(k) &= \sum_{n=0}^{N/2-1} x(2n) W_N^{2nk} + \sum_{n=0}^{N/2-1} x(2n+1) W_N^{(2n+1)k} \\ &= \sum_{n=0}^{N/2-1} X_1(n) W_{N/2}^{nk} + W_N^k \sum_{n=0}^{N/2-1} X_2(n) W_{N/2}^{nk} = \\ &= X_1(k) + W_N^k X_2(k) \end{aligned}$$

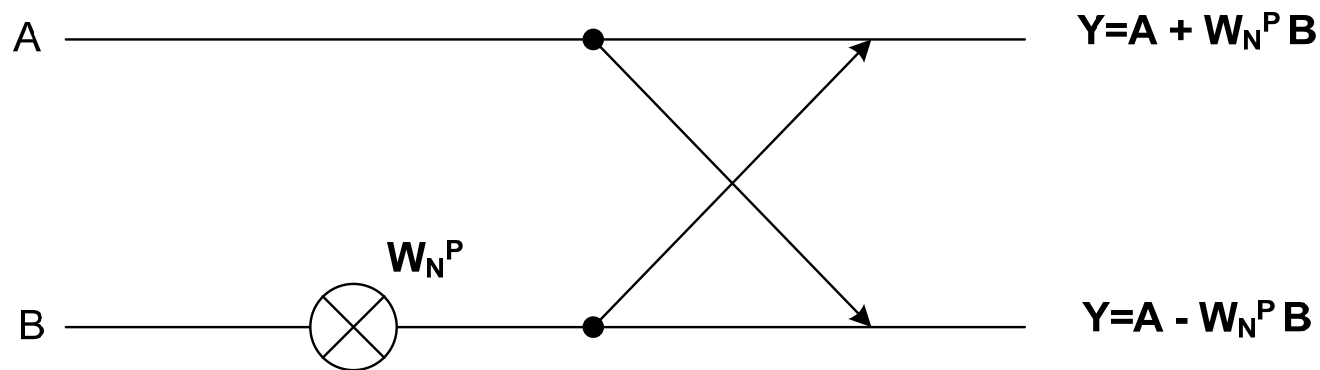
$X_1(k)$ a **$X_2(n)$** - dvě $N/2$ bodové DFT - ušetří se takto 50 % operací !

Grafická podoba FFT

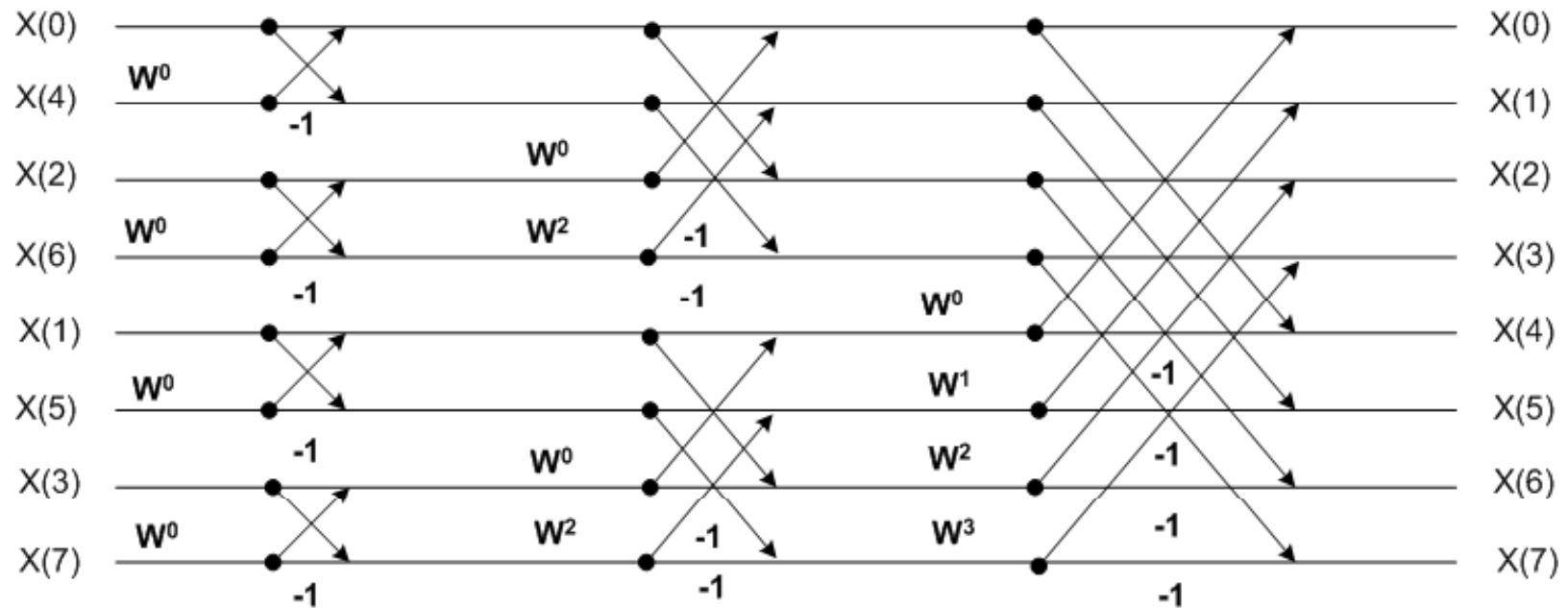


Postup výpočtu – další kroky

Opakováním toho algoritmu se dostaneme až na základní dvojice rovnic pro dvojbodovou DFT – tzv. „butterfly“ - motýlek



Algoritmus 8-bodové FFT radix2



Indexy na levé straně – bitová reverzace

Vypočet DFT pomocí matic

$$X(k) = \sum_{n=0}^{N-1} x(n) e^{-j\frac{2\pi}{N}n.k}$$

$$\begin{bmatrix} X(0) \\ \vdots \\ X(7) \end{bmatrix} = \begin{bmatrix} W_1 & \cdots & W_1 \\ \vdots & \ddots & \vdots \\ W_1 & \cdots & W_n \end{bmatrix} \cdot \begin{bmatrix} x(0) \\ \vdots \\ x(7) \end{bmatrix}$$

Frekvenční rozlišení, možnosti jeho zvýšení

Frekvenční rozlišení (N bodové DFT)

$$\Delta f = \frac{f_{VZ}}{N}$$

Zvětšení rozlišení :

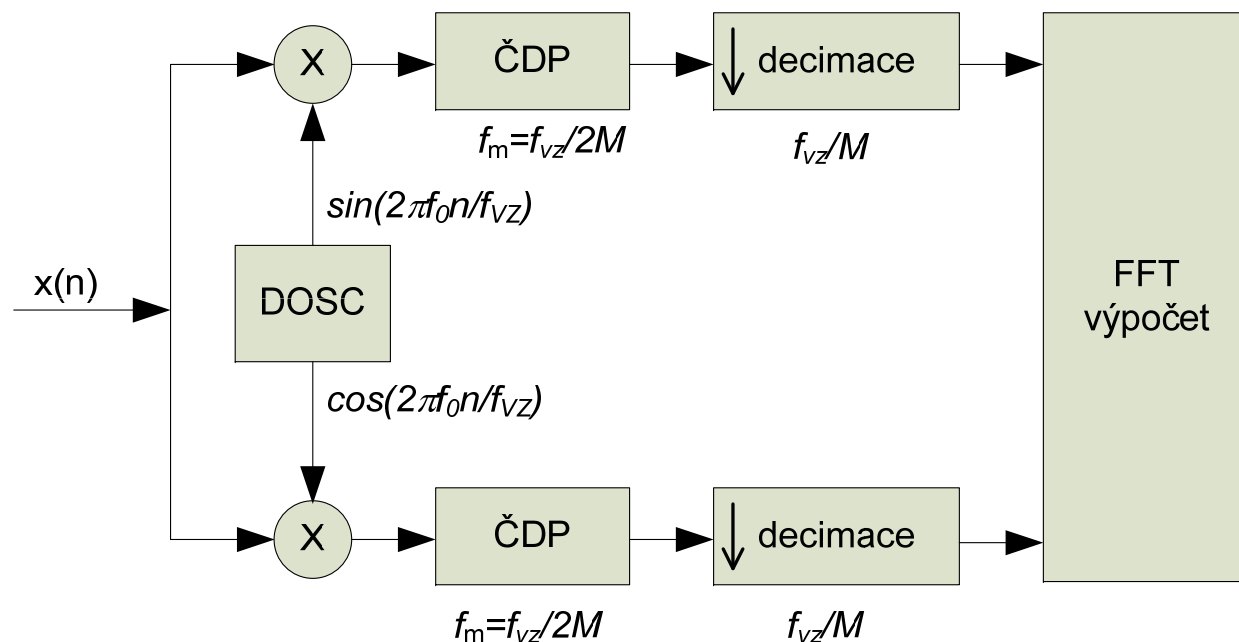
- Decimací – redukuje se f_{VZ} a tím dochází ke zvětšení rozlišení
- Doplněním nul do posloupnosti (prodloužením délky záznamu)
- Použitím frekvenční lupy

Princip frekvenční lupy

Využívá se věta o frekvenčním posunu

$$e^{j\frac{2\pi}{N}n.k_0}x(n) \leftrightarrow X(k - k_0)$$

Vstupní signál se vynásobí komplexní exponenciálou, tím dojde k posunu spektra s frekvencí f_0 do počátku frekvenční osy, ČDP jsou antialiasing filtry, poté se provede decimace faktorem M – tím dojde k M -násobnému zvětšení frekvenčního rozlišení (na FFT analyzátorech tzv. „zoom“ funkce)

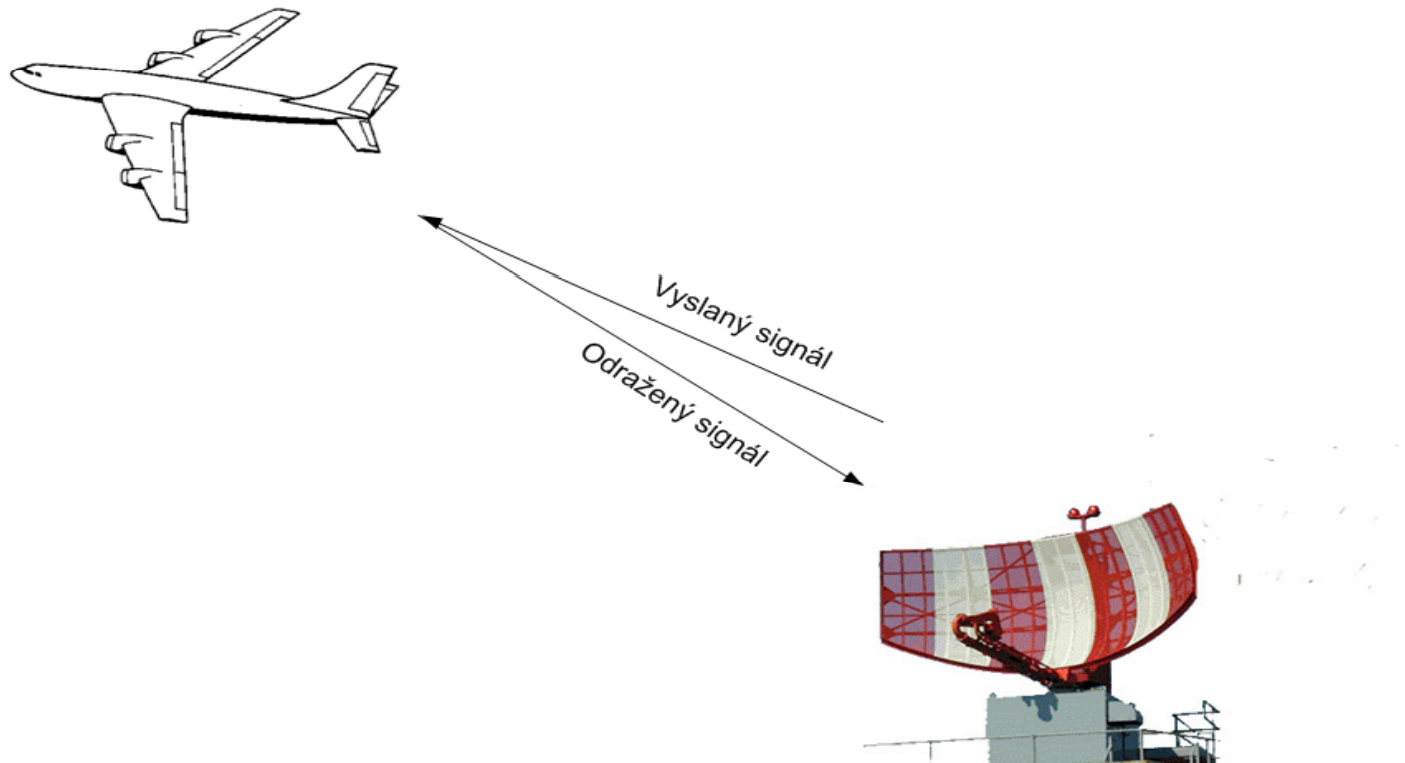


Obsah přednášky

- Úvod, motivace do problematiky číslicového zpracování signálu či obrazu (DSP), základní definice a pojmy
- Digitalizace signálu
- Převzorkování – decimace, interpolace
- Číslicové filtry (FIR, IIR)
- Frekvenční analýza (FFT, DFT)
- **Korelace, autokorelace**
- Datová komprese, metody komprese, obrazová komprese JPEG, MPEG

Příklad použití korelační funkce v praxi

- lokace radarového echa
- RADAR – zkratka z **RA**dio **D**etecting and **R**anging - dvojnásobné použití DSP
- využívá se algoritmus pro výpočet **korelační funkce** + **filtrace** pro odstranění nežádoucího šum



Příklad použití korelační funkce v praxi

Předpokládejme:

$x(n)$ - vysílaný signál

$y(n)$ – odražený signál

Pro odražený signál v případě detekce letadla platí:

$$y(n) = K x(n-D) + w(n)$$

K je faktor útlumu (záleží na mnoha parametrech – vzdálenost RADAR – letící objekt, efektivní odrazová plocha)

D je časové zpoždění mezi signály $y(n)$ a $x(n)$

w(n) je šum

Pro zpracování a vyhodnocení signálu **y(n)** se používá **korelační funkce**, pro **potlačení šumů** se využívá **číslicová filtrace signálu**

Stejný princip měřicí metody je použit např. u **SONARŮ** (frekvenční pásmo max. desítky až stovky kHz)

Význam korelace – jak ji můžeme chápat

- metoda (způsob) pro **zpracování náhodných signálů**
- představuje **vzájemný vztah** mezi dvěma procesy (signály)
- pokud na sobě závisují, znamená to, že jsou vzájemně korelovány
- z hlediska statistiky, pokud jsou závislé, míra korelace je dána tzv. **korelačním koeficientem** v rozsahu $<-1,1>$
- i když korelační koeficient je **nulový**, ještě to neznamena, že dva signály jsou **nekorelované !!!**
- naopak pokud **dva signály** jsou **nekorelované**, pak korelační koeficient je **nulový**

Další typické aplikace korelačních funkcí v praxi

- letectví a vojenská technika – RADARY, SONARY
- technická diagnostika – ultrazvuková defektoskopie
- měřicí technika – eliminace šumu, např. šumová termometrie
- rozpoznávání řeči – hledání maximální shody mezi dvěma nahrávkami slov-
typické pro rozpoznávání izolovaných slov (např. povely pro řízení počítače
apod.)

Matematické nástroje pro popis náhodných signálů

- lze použít např. **distribuční funkci** či **histogram** (hustota pravděpodobnosti)
- číselné charakteristiky – momenty:

Spojitě náhodné veličiny

K- obecný
moment

$$\mu_k = E(X^K) = \int_{-\infty}^{\infty} x^k f(x) dx$$

K-centrální
(centrovaný)
moment

$$\mu_k^c = E[(X - \mu_x)^k] = \int_{-\infty}^{\infty} (x - \mu_x)^k f(x) dx$$

Diskrétní náhodné veličiny

$$\mu_k = E(X^K) = \sum_{i=1}^n (x_i)^k P_i$$

$$\mu_k^c = E[(X - \mu_x)^k] = \sum_{i=1}^n (x_i - \mu_x)^k P_i$$

Nejvíce používané momenty: **střední hodnota** a **rozptyl** náhodné veličiny

$$\mu_x = E(X) = \sum_{i=1}^n x_i P_i \quad \mu_2^c = \sigma_x^2 = E[(X - \mu_x)^2] = \sum_{i=1}^n (x_i - \mu_x)^2 P_i$$

Výpočet korelačních funkcí pro spojité náhodné veličiny

Korelační funkce mezi signály $x(t)$ a $y(t)$

$$R_{xy}(t, t + \tau) = E[x(t) \cdot y(t + \tau)]$$

Autokorelační funkce signálu $x(t)$

$$R_{xx}(t, t + \tau) = E[x(t) \cdot x(t + \tau)]$$

Kovarianční funkce mezi signály $x(t)$ a $y(t)$

$$K_{xy}(t, t + \tau) = E[\{x(t) - \mu_X\}\{y(t + \tau) - \mu_Y\}]$$

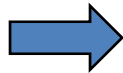
Autokovarianční funkce signálu $x(t)$

$$K_{xx}(t, t + \tau) = E[\{x(t) - \mu_X\}\{x(t + \tau) - \mu_X\}]$$

Důležité vlastnosti korelačních funkcí

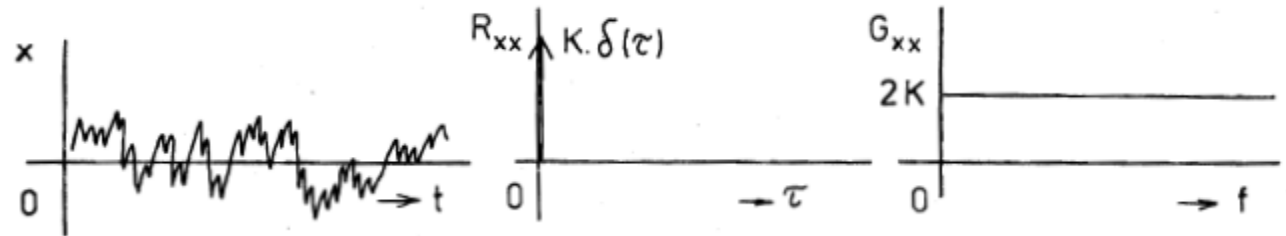
- **Pro stacionární signály** jsou funkce R_{xx} , R_{xy} , K_{xx} , K_{xy} nezávislé na okamžiku (čase) t , závisí pouze **na čase** τ (velikost zpoždění)
- Je-li vstupní signál $x(t)$ **periodický**, stejně tak autokorelační funkce R_{xx} je periodická
- Autokorelační funkce je sudá, tj. $R_{xx}(\tau) = R_{xx}(-\tau)$
- Vztahy mezi korelační a autokorelační funkcí a spektrální výkonovou hustotou - **Wienerovými-Chinčinovými vzorci**
(*možnost jak využít DFT či FFT algoritmy pro výpočet korelačních funkcí* – navzorkovat signál, spočítat spektrum signálu – umocněním na kvadrát vypočítat výkonovou spektrální hustotu S_{xx} – po té aplikovat algoritmy DFT či FFT na výpočet korelačních funkcí)

$$R_{xx}(\tau) = \int_{-\infty}^{\infty} S_{xx}(f) e^{j2\pi f\tau} df \quad R_{xy}(\tau) = \int_{-\infty}^{\infty} S_{xy}(f) e^{j2\pi f\tau} df$$

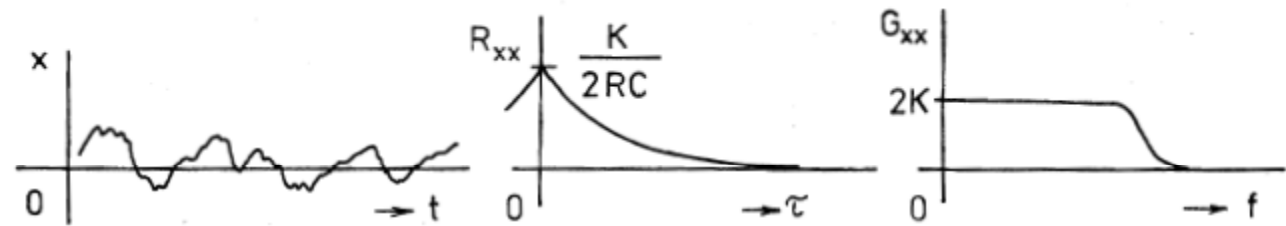
Pro $\tau=0$ hodnota autokorelační funkce v počátku představuje celkový **výkon signálu** !  $R_{xx}(0) = \int_{-\infty}^{\infty} S_{xx}(f) df$

Příklady autokorelačních funkcí

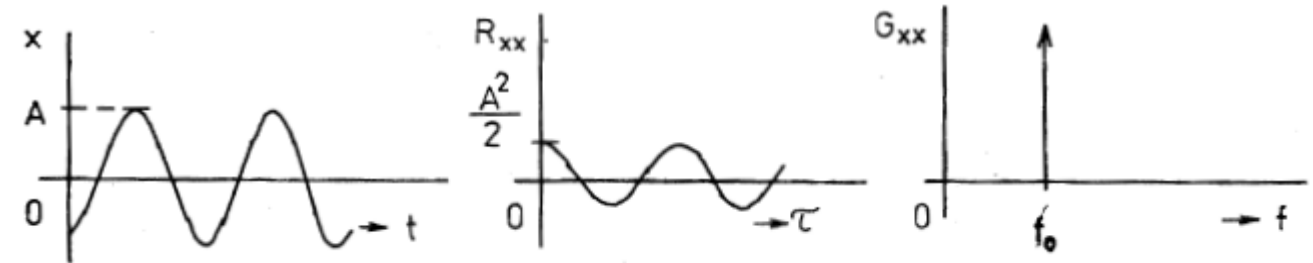
bílý šum



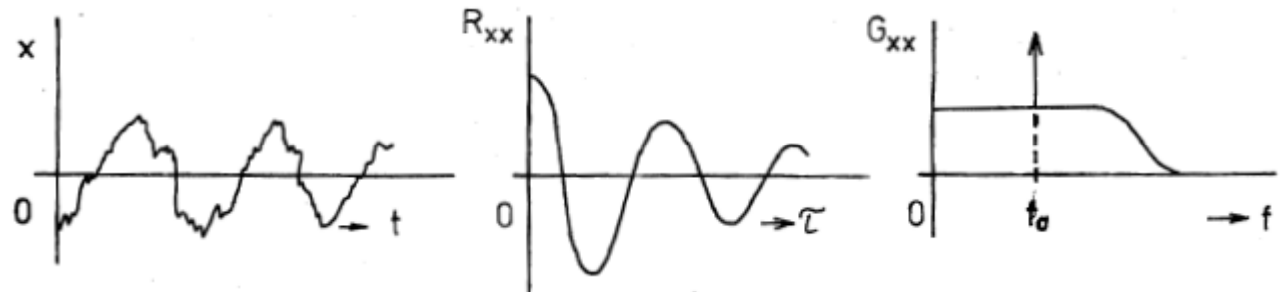
bílý šum po průchodu
RC dolní propustí



harmonický signál
o frekvenci f_0



harmonický signál
o frekvenci f_0
s přidaným šumem



Jiný způsob výpočtu korelačních funkcí

Výpočet korelační, kovarianční, autokorelační a autokovarianční funkce pomocí **střední hodnoty v čase** (spojitý čas)

Matematická definice : Integrální počet: věta o střední hodnotě

$$\int_a^b f(x) dx = (b - a) \cdot f(c) \Rightarrow f(c) = \frac{1}{b - a} \int_a^b f(x) dx$$

Výpočet pro spojité signály v čase

Korelační funkce mezi signály $x(t)$ a $y(t)$

$$R_{xy}(\tau) = \lim_{T_M \rightarrow \infty} \frac{1}{T_M} \int_0^{T_M} x(t)y(t + \tau)dt$$

Autokorelační funkce signálu $x(t)$

$$R_{xx}(\tau) = \lim_{T_M \rightarrow \infty} \frac{1}{T_M} \int_0^{T_M} x(t)x(t + \tau)dt$$

Výpočet pro spojité signály v čase

Kovarianční funkce mezi signály $\mathbf{x(t)}$ a $\mathbf{y(t)}$

$$K_{xy}(\tau) = \lim_{T_M \rightarrow \infty} \frac{1}{T_M} \int_0^{T_M} [x(t) - \mu_x][y(t + \tau) - \mu_y] dt$$

Autokovarianční funkce signálu $\mathbf{x(t)}$

$$K_{xx}(\tau) = \lim_{T_M \rightarrow \infty} \frac{1}{T_M} \int_0^{T_M} [x(t) - \mu_x][x(t + \tau) - \mu_x] dt$$

Výpočet pro diskrétní signály v čase

Zcela analogicky jako v případě spojitých signálů v čase ...
např.

Autokorelační funkce signálu $x(t)$

$$R_{xx}(rT) = \lim_{N \rightarrow \infty} \frac{1}{N} \sum_{n=1}^N x(nT)x(nT + rT)$$

Posunutí τ je reprezentováno celistvým násobkem r periody vzorkování T

Výpočet pro diskrétní signály v čase

V praxi je doba měření, resp. velikost N (počet navzorkovaných dat) omezené



Výpočtem podle předchozích vztahů dostáváme vychýlené odhady skutečných R_{xx} , R_{xy} , K_{xx} , K_{xy}

Řešení :

$$\hat{R}_{xx}(\tau) = \frac{1}{T_M - \tau} \int_0^{T_M - \tau} x(t)x(t + \tau)dt$$

$$\hat{R}_{xx}(rT) = \frac{1}{N - r} \sum_{n=1}^{N-r} x(nT)x(nT + rT)$$

Největší hodnota τ , resp. rT se bere jako desetina T_M , resp. N

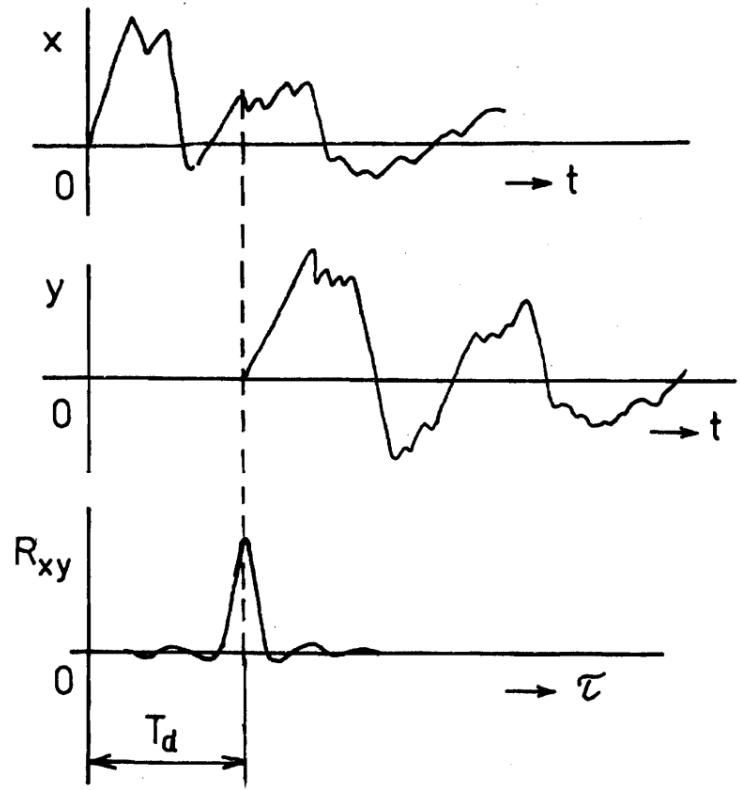
Aplikace korelačních funkcí

1) Určení časového zpoždění mezi dvěma podobnými ději:

A) známe-li **rychlost šíření** signálu **v** ,
můžeme určit **vzdálenost d** (případ
radaru, sonaru, ultrazvuk. diagnostika)

B) známe-li **vzdálenost d** např. dvou
snímačů (senzorů), můžeme vyhodnotit
rychlost v např. pohybu kapalin apod.

**Autokorelační funkce má své maximum pro
zpoždění $T_d = d/v$**



Aplikace korelačních funkcí

2) Zjištění periodicity signálu

- Máme-li např. signál podobný náhodnému a je-li perioda relativně dlouhá, je obtížné periodicitu signálu odhalit a určit
- Autokorelační funkce - opět periodická, silná lokální maxima pro $\tau=0$ a násobky k -té periody signálu T

Aplikace korelačních funkcí

3) Detekce periodického signálu v šumu

- Lze určit periodu signálu
- Lze stanovit poměr S/N

$$\hat{R}_{xx}(\tau) = \frac{1}{T} \int_0^T [s(t) + n(t)][s(t + \tau) + n(t + \tau)] dt$$

Odvození:

$$\hat{R}_{xx}(\tau) = \hat{R}_{ss}(\tau) + \hat{R}_{sn}(\tau) + \hat{R}_{ns}(\tau) + \hat{R}_{nn}(\tau)$$

$$R_{xy}(0) = P_S + P_N \quad R_{xx}(nT) = P_S \quad \text{pro } nT > \tau_{KM}$$

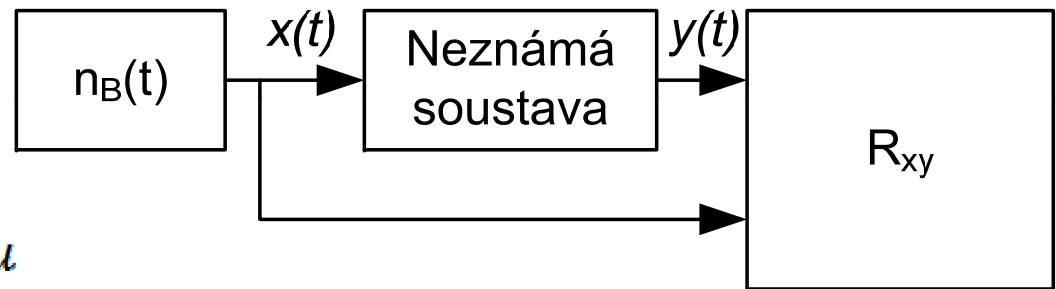
Odstup signál šum

$$\frac{S}{N} = 10 \cdot \log \frac{P_S}{P_N} = 10 \log \frac{R_{xx}(nT)}{R_{xx}(0) - R_{xx}(nT)}$$

Aplikace korelačních funkcí

4) Identifikace soustav - nalezení impulzní odezvy $h(t)$

- Přivedeme na vstup testované soustavy bílý šum $n_b(n)$
- Spočítáme vzájemnou korelační funkci mezi $n_b(n)$ a výstupem $y(n)$ – ta odpovídá přímo impulzní odezvě systému



$$y(t) = \int_{-\infty}^{\infty} h(u) \cdot x(t-u) du$$

$$\begin{aligned} R_{xy}(\tau) &= \lim_{T_M \rightarrow \infty} \frac{1}{T_M} \int_0^{T_M} x(t) \int_{-\infty}^{\infty} h(u) \cdot x(t-u) du dt \\ &= \int_{-\infty}^{\infty} h(u) \cdot R_{xx}(\tau-u) du = h(\tau) * R_{xx}(\tau) \end{aligned}$$

$$\text{Pro } x(n)=n_b(n) \quad \longrightarrow \quad R_{xy}(\tau) = \delta(\tau) \quad \longrightarrow \quad R_{xy}(\tau) = h(\tau)$$

Použitá literatura pro další samostudium

- Uhlíř, J.- Sovka P.: Číslicové zpracování signálů, skriptá, ČVUT, 2002.
- Sedláček, M. : Zpracování signálů v měřicí technice, skriptá, ČVUT, 1999.
- Proakis, J. G. – Manolakis, D. J.: Digital signal processing: Principles, Algorithms and Applications